

图3

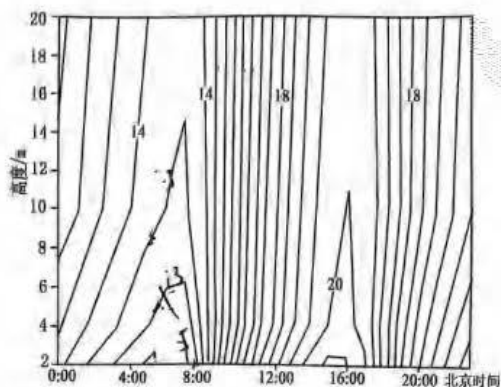


图4

6. 该日,此地地方时 6:40 近地层 2m 处的气温是
A. 12.3°C B. 12.8°C
7. 该地夜晚风速较小的原因是
A. 地面摩擦作用, 风力减弱
C. 地面降温快, 出现逆温层
8. 该日北京时间 15:00, 该地盛行风向最可能是
A. 东北风 B. 东南风

- C. 15.3°C D. 15.8°C

- B. 湖陆风与山谷风相互抵消
X. 大气吸热使保温作用增强

- C. 西北风 D. 西南风



下潜寒流是指海洋表层的冷水在外力作用下向海洋底部垂直到动,它是形成深海洋流的重要动力。通过下潜寒流,表层的氧气传输到深层海域,深层海水中的微生物靠这些氧气把从海洋表层沉落下来的有机物分解成氮和磷等无机物,这些无机物再随深层海水上升到海洋表层,成为浮游生物的营养来源。图5示意日本海位置,在过去50年间,日本海北部的平均气温上升了1.5~3°C,下潜寒流也受到气候变暖影响。据此完成9~10题。

9. 日本海的下潜寒流形成在冬季,主要分布在
A. ① B. ②
C. ③ D. ④

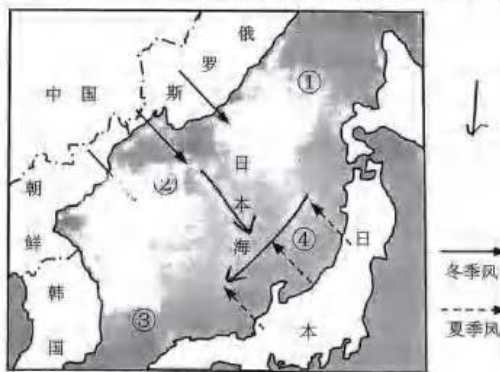


图5

10. 气温升高会导致日本海下潜寒流
A. 下潜速度加快 B. 下潜深度变浅 C. 下潜流量增大 D. 下潜方向偏南

2023年9月4日,飓风“丹尼尔”在希腊西南近海形成,随后在地中海东部缓慢向东南移动,10日袭击利比亚东北部,引发严重洪水灾害,11日“丹尼尔”继续东移,影响埃及,在其北部及海面扬起大量沙尘。“丹尼尔”在靠近非洲向东移动的过程中速度较快,显示对流发展旺盛。据此完成11~12题。

11. 对飓风“丹尼尔”移动方向影响最小的是
A. 地转偏向力 B. 非洲北部的副高 C. 中纬西风 D. 海陆风
12. “丹尼尔”在非洲海域对流发展旺盛的诱因最可能是
A. 低空西风强劲 B. 副高势力较强 C. 表层海温较高 X. 水域面积辽阔

冻土湿地是在高纬度或高海拔冷湿环境下形成的一种特殊的森林、沼泽湿地类型，分布于多年冻土分布带上，植被层下是难以被微生物分解的植物残体堆积成的泥炭层，也是全球重要的碳汇区。近30年来，由于气候变暖和人类活动的影响，冻土退化严重，冻土湿地出现了原有高处湿地萎缩和新生湿地扩张的现象。图6为我国大兴安岭地区某地多年冻土南界变化图。据此完成13~15题。

13. 沼泽湿地的植被层和下覆泥炭层对冻土起保护增生作用，

该作用主要是指

- A. 隔热和保储水分 B. 降温和增厚功能
C. 储存大量有机碳 D. 缓解气候的变暖

14. 图中冻土界线的变化可能导致冻土湿地

- A. 融化区域的面积缩小
B. 向大气释放更多的碳
C. 土壤的温度和湿度下降
D. 微生物分解有机碳减弱

15. 新生湿地最有可能出现在

- A. 山地垭口 B. 山脊处
C. 斜坡地带 D. 低洼地



图6

二、非选择题：本题共3小题，共55分。

16. 阅读图文资料，完成下列要求。(14分)

洞里萨湖(13°N附近)位于柬埔寨的西北部，通过洞里萨河与湄公河相连通。湖区属于热带季风气候，5~10月为西南季风控制的雨季，11月至次年4月为东北季风控制的旱季。在气候变化背景下，洞里萨湖白天的湖泊表面水温变化明显，给湖泊生态系统带来严峻挑战。图7示意洞里萨湖白天的湖泊表面水温及区域气候因素的标准化值季节分配。

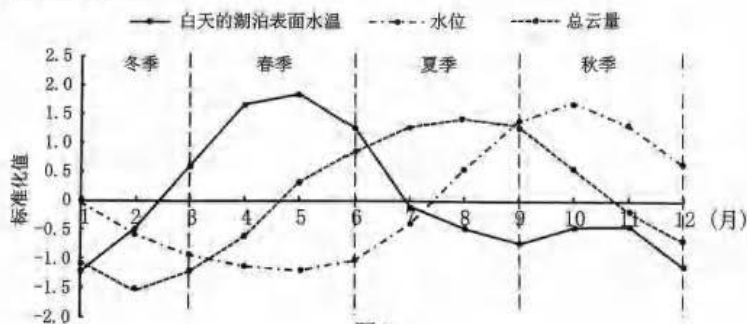


图7

(1) 简析洞里萨湖白天的湖泊表面水温5月最高的原因。(8分)

(2) 在全球气候变化背景下，据图推测洞里萨湖的水位年际变化趋势，并说明理由。(6分)

17. 阅读图文资料，完成下列要求。(17分)

我国针对国情，确立了“以我为主、立足国内、确保产能、适度进口、科技支撑”的粮食安全战略。集中国内的资源，重点保障口粮安全，适度进口粮食作为补充手段。图8示意我国大豆产量、进口量、消费量和自给率，图9为我国大量进口大豆的原因。

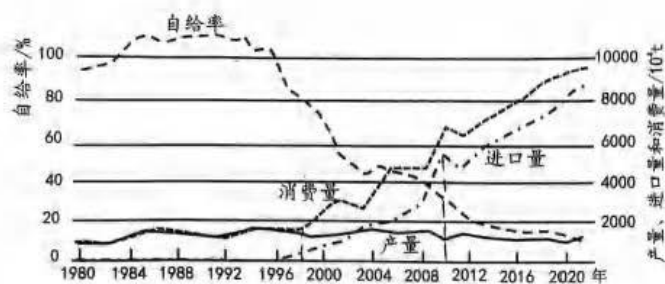


图 8



图 9

(1) 图 8 可以反映我国大豆对外依存度的变化, 请简述其变化特征。(5 分)

(2) 简要分析近年来我国大量进口大豆的原因。(6 分)

(3) 适度进口大豆可以给我国带来哪些好处?(6 分)

18. 阅读图文资料, 完成下列要求。(24 分)

人口耕地弹性系数为土地面积百分比和人口百分比之比, 可以衡量人口耕地关系紧张程度。乌蒙山区地处滇、黔、川三省交界处, 地势东北低西南高, 境内山高坡陡、切割纵横, 相对落差大, 低海拔地区多为河谷地带, 中高海拔地区分布有西南地区最大的高原草场, 受自然和人为双重原因的影响, 耕地减少的现象突出。表 1 为乌蒙山区人口、耕地情况统计表, 图 10 为乌蒙山区各海拔高程地带人口耕地弹性系数变化图。

表 1

海拔高度 (m)	人口密度 (人/km ²)	耕地比例 (%)	耕地减少率 (%)
<1000	244.87	6.75	15.06
1000~1300	247.85	19.94	15.70
1300~1600	265.67	29.28	8.60
1600~1900	264.36	14.09	8.89
1900~2200	193.45	14.02	6.86
2200~2500	154.37	13.36	4.19
>2500	117.81	2.55	7.97

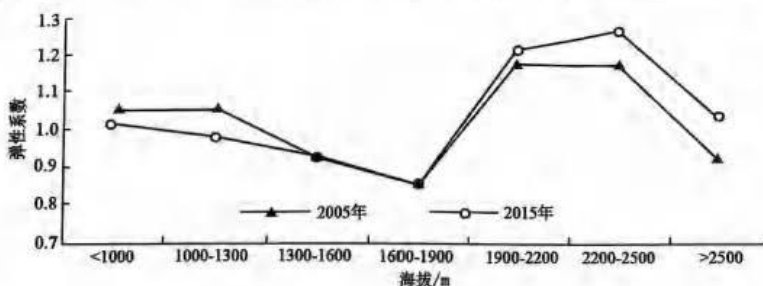


图 10

(1) 简述乌蒙山区人口与耕地垂直分布的共同特征。(6 分)

(2) 推测 1300~1900m 的中海拔地区耕地面积大的原因。(6 分)

(3) 指出耕地减少的总体垂直变化趋势, 并比较 1000m 以下低海拔地区与 2500m 以上高海拔地区耕地减少的人为原因差异。(8 分)

(4) 推测 1900m 以上高海拔区域人地关系日趋缓和的原因。(4 分)

关于我们

自主选拔在线是致力于提供新高考生涯规划、强基计划、综合评价、三位一体、学科竞赛等政策资讯的升学服务平台。总部坐落于北京，旗下拥有网站（[网址: www.zizzs.com](http://www.zizzs.com)）和微信公众平台等媒体矩阵，用户群体涵盖全国 90% 以上的重点中学师生及家长，在全国新高考、自主选拔领域首屈一指。

如需第一时间获取相关资讯及备考指南，请关注**自主选拔在线**官方微信号：**zizzsw**。

